



Московский государственный университет имени М. В. Ломоносова
Физический факультет, кафедра общей физики и волновых процессов
Международный учебно-научный лазерный центр
НОЦ «Суперкомпьютерные технологии»



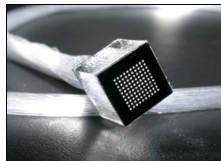
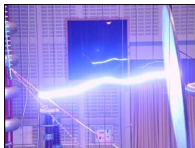
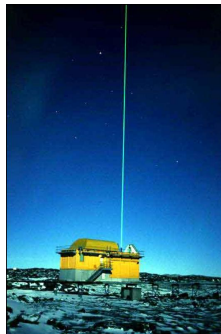
Сравнительный анализ параллельных численных алгоритмов решения нелинейного уравнения квазиоптики

Дергачёв А. А., Ефимов О. В., Сметанина Е. О.

14 декабря 2009

Приложения филаментации

- ▶ Экологический мониторинг атмосферы
широкий спектр суперконтинуума
- ▶ Удаленное зондирование мишеней
высокая интенсивность
- ▶ Управляемый газовый разряд
высокая линейная плотность плазмы
- ▶ Микро-модификация оптических материалов
малый размер филамента
высокая интенсивность



Постановка задачи

Параболическое уравнение квазиоптики:

$$2ik \frac{\partial E}{\partial z} = \Delta_{\perp} E + \frac{2k^2}{n_0} n_2 |E|^2 E$$

Начальные условия:

$$E(x, y, z = 0) = E_0 \exp \left(-\frac{x^2 + y^2}{2r_0^2} \right)$$

Постановка задачи

Обезразмеренная задача:

$$\left\{ \begin{array}{l} 2i \frac{\partial E}{\partial z} = \Delta_{\perp} E + R |E|^2 E \\ E(x, y, z = 0) = \exp\left(-\frac{x^2 + y^2}{2}\right) \end{array} \right.$$

Численные методы решения задачи

- ▶ **Явная разностная схема: метод Рунге-Кутты**
прост в реализации, но имеет проблемы с устойчивостью
и требует многократного расхода памяти
- ▶ **Фурье-метод с расщепление по физическим факторам**
необходимо большое число пересылок
существует много реализаций
- ▶ **Неявная разностная схема: метод прогонки**
сложен в реализации, меньше пересылок, но нужна временная память

Явная схема: метод Рунге-Кутта

Последовательный алгоритм:

```
функция шаг_рунге_кутта_4(поле[], dz, f())  
{  
    k1[] = f(поле[]);  
  
    k2[] = f(поле[] + k1[]*dz/2);  
  
    k3[] = f(поле[] + k2[]*dz/2);  
  
    k4[] = f(поле[] + k3[]*dz);  
  
    return поле[] + (k1[] + 2*k2[] + 2*k3[] + k4[])*dz/6;  
}
```

Явная схема: метод Рунге-Кутта

???

Явная схема: метод Рунге-Кутта

Параллельный алгоритм:

функция шаг_рунге_кутта_4(поле[], dz, f())

{

 k1[] = f(поле[]);

 обмен_границами(k1[]);

 k2[] = f(поле[] + k1[]*dz/2);

 обмен_границами(k2[]);

 k3[] = f(поле[] + k2[]*dz/2);

 обмен_границами(k3[]);

 k4[] = f(поле[] + k3[]*dz);

 обмен_границами(k4[]);

 return поле[] + (k1[] + 2*k2[] + 2*k3[] + k4[])*dz/6;

}

Фурье-метод

$$2\mathbf{i}\frac{\partial E}{\partial z} = \Delta_{\perp}E + R|E|^2E$$

$$2\mathbf{i}\frac{\partial E(z_i)}{\partial z} = \Delta_{\perp}E(z_i)$$
$$E(z_i) \longrightarrow \hat{E}(z_i)$$

$$2\mathbf{i}\frac{\partial \hat{E}(z_i)}{\partial z} = R|\hat{E}(z_i)|^2\hat{E}(z_i)$$

$$E(z_i + \Delta z) = \hat{E}(z_i) \exp\left(-\frac{\mathbf{i}}{2}R\left|\hat{E}(z_i)\right|^2\Delta z\right)$$

Фурье-метод

$$\begin{aligned} 2i \frac{\partial E}{\partial z} &= \frac{\partial^2 E}{\partial x^2} + \frac{\partial^2 E}{\partial y^2} \longrightarrow \\ \longrightarrow \left[E(x, y, z) &= \sum_{j,k} \tilde{E}_{jk}(z) \exp \left\{ \frac{2\pi i j x}{N} \right\} \exp \left\{ \frac{2\pi i k y}{N} \right\} \right] \longrightarrow \\ \longrightarrow 2i \frac{\partial \tilde{E}}{\partial z} &= \left(\frac{2\pi i}{N} \right)^2 (j^2 + k^2) \tilde{E}(z) \longrightarrow \\ \longrightarrow \tilde{E}_{jk}(z + \Delta z) &= \tilde{E}_{jk}(z) \exp \left\{ i \frac{2\pi^2}{N^2} (j^2 + k^2) \Delta z \right\} \end{aligned}$$

Фурье-метод

$$\begin{aligned} \text{Итого: } E(x, y, z_i) &\xrightarrow{\text{2D FFT}} \tilde{E}_{jk}(0) \longrightarrow \\ \longrightarrow \tilde{E}_{jk}(0) \exp \left\{ i \frac{2\pi^2}{N^2} (j^2 + k^2) \Delta z \right\} &\xrightarrow{\text{2D FFT}^{-1}} E(x, y, z_i + \Delta z) \end{aligned}$$

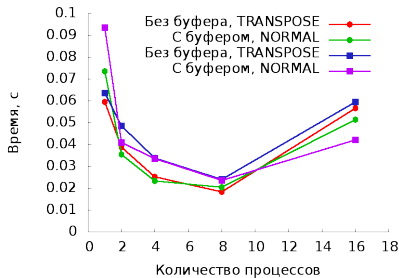
Profit!

Добрый день, доктор Элизабет?
Да, э... я случайно сделал
преобразование Фурье моей кошки...

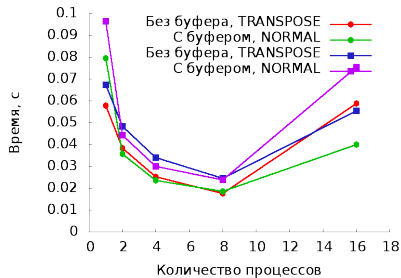


$N = 512$

Без использования MEASURE



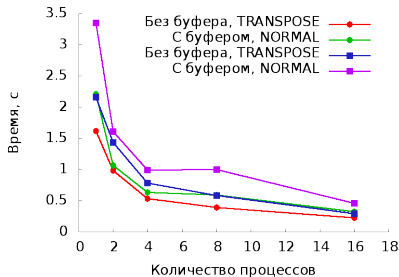
С использованием MEASURE



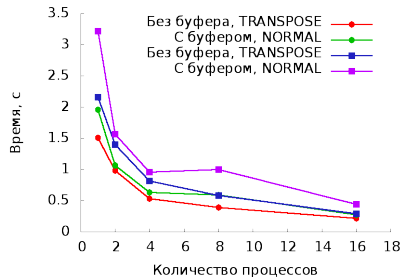
Опции FFTW

$N = 2048$

Без использования MEASURE



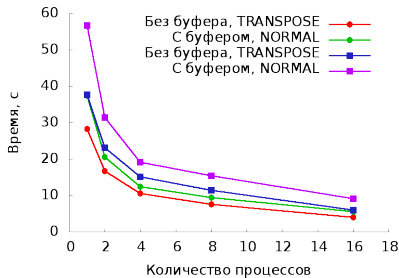
С использованием MEASURE



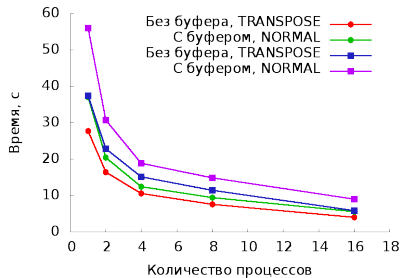
Опции FFTW

$N = 8192$

Без использования MEASURE



С использованием MEASURE



Минивывод: «лучшее враг хорошего»

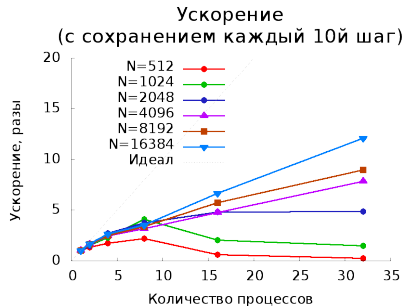
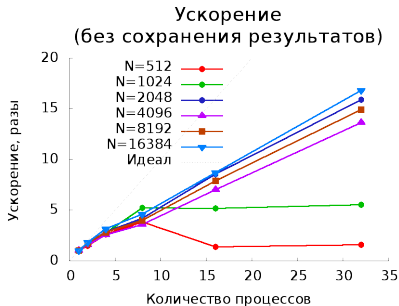
Таким образом, обычно быстрее всего работает вариант без дополнительного буфера и с опцией `FFTW_TRANSPOSED_ORDER`, а использование дополнительно опции `FFTW_MEASURE` не позволяет получить ощутимый прирост производительности.

Зависимость времени такта от опций компиляции:

| Опция | <i>np</i> = 8 | <i>np</i> = 16 |
|--------------------|---------------|----------------|
| -O2 (по умолчанию) | 9.0 с | 5.0 с |
| -O1 | 9.2 с | 5.3 с |
| -O3 | 8.8 с | 5.1 с |
| -Os | 9.0 с | 5.2 с |
| -fast | 8.9 с | 5.2 с |

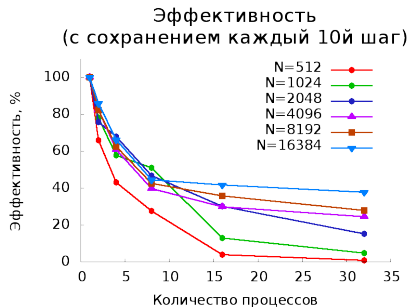
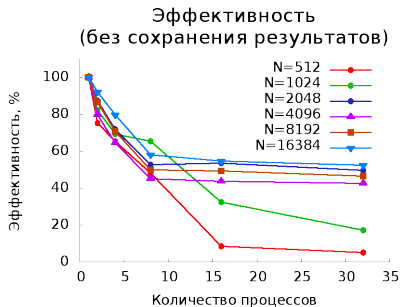
Результаты замеров времени для лучшего набора опций

Ускорение параллельной программы



Результаты замеров времени для лучшего набора опций

Эффективность параллельной программы

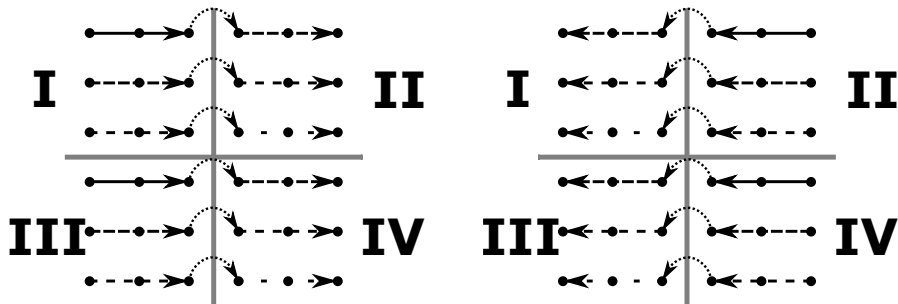


Неявная схема: метод прогонки

$$\left\{ \begin{array}{l} 2i \frac{h_1}{2} \frac{\hat{E}_{0,j} - E_{0,j}^k}{\Delta z} = \frac{1}{2} \left(\frac{\hat{E}_{1,j} - \hat{E}_{0,j}}{h_1} \right) + \frac{1}{2} \left(\frac{E_{1,j}^k - E_{0,j}^k}{h_0} \right) \\ 2i \frac{h_{i+1} + h_i}{2} \frac{\hat{E}_{i,j} - E_{i,j}^k}{\Delta z} = \frac{1}{2} \left(\frac{\hat{E}_{i+1,j}}{h_{i+1}} - \left(\frac{1}{h_{i+1}} + \frac{1}{h_i} \right) \hat{E}_{i,j} + \frac{\hat{E}_{i-1,j}}{h_i} \right) \\ \quad + \frac{1}{2} \left(\frac{E_{i+1,j}^k}{h_{i+1}} - \left(\frac{1}{h_{i+1}} + \frac{1}{h_i} \right) E_{i,j}^k + \frac{E_{i-1,j}^k}{h_i} \right) \\ 2i \frac{h_N}{2} \frac{\hat{E}_{N,j} - E_{N,j}^k}{\Delta z} = \frac{1}{2} \left(\frac{\hat{E}_{N,j} - \hat{E}_{N-1,j}}{h_N} \right) + \frac{1}{2} \left(\frac{E_{N,j}^k - E_{N-1,j}^k}{h_{N-1}} \right) \end{array} \right.$$

Если шаг сетки равномерный, то есть $h_i = x_i - x_{i-1} = \text{const}$, то схема переходит в хорошо известную схему Кранка-Николсона.

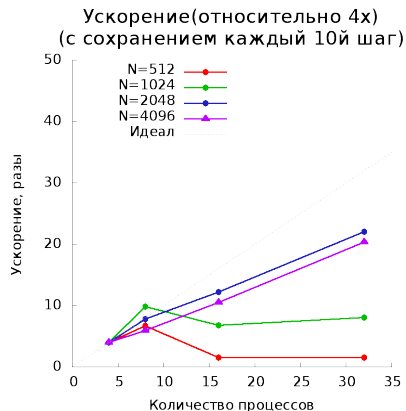
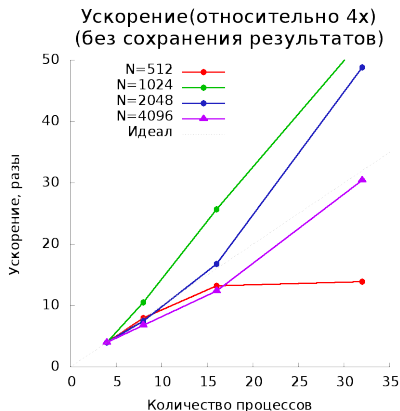
Неявная схема: метод прогонки



Результаты замеров времени

СКИФ «Чебышёв»

Ускорение параллельной программы

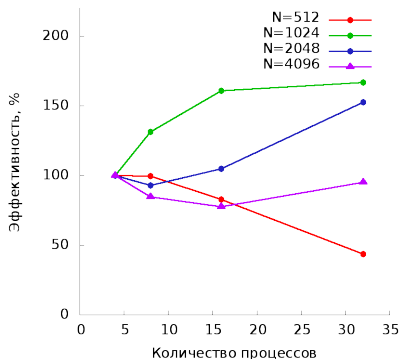


Результаты замеров времени

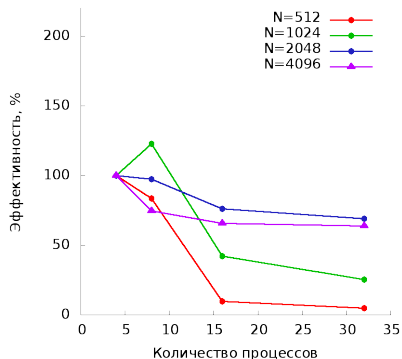
СКИФ «Чебышёв»

Эффективность параллельной программы

Эффективность(относительно 4х)
(без сохранения результатов)



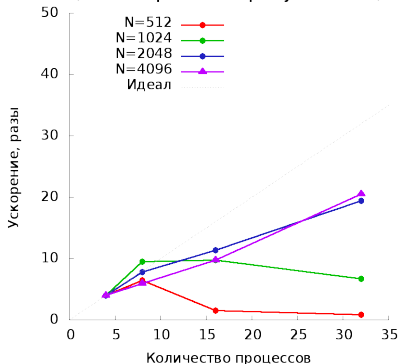
Эффективность(относительно 4х)
(с сохранением каждый 10й шаг)



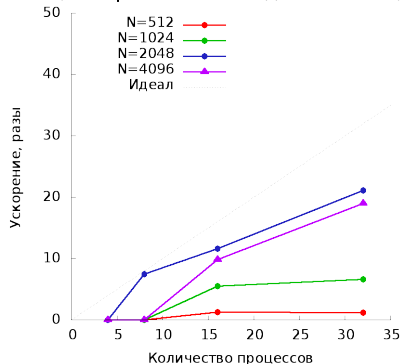
Результаты замеров времени IBM Bluegene/P

Ускорение параллельной программы

Ускорение(относительно 4х)
(без сохранения результатов)



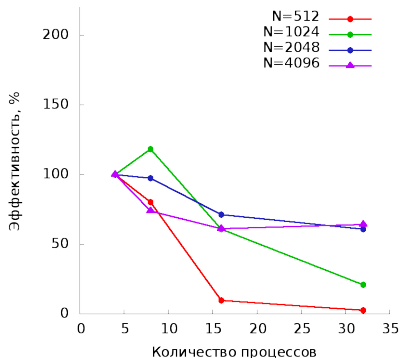
Ускорение(относительно 4х)
(с сохранением каждый 10й шаг)



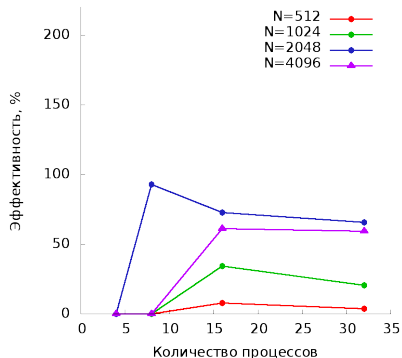
Результаты замеров времени IBM Bluegene/P

Эффективность параллельной программы

Эффективность(относительно 4х)
(без сохранения результатов)



Эффективность(относительно 4х)
(с сохранением каждый 10й шаг)



Основные результаты

- ▶ Было проведено исследование работы 3х алгоритмов решения нелинейного уравнения квазиоптики: явной схемы с применением метода Рунге-Кутты 4-го порядка, неявной консервативной схемы, решаемой методом прогонки и метода с использованием БПФ.
- ▶ Выяснено, что явная схема обладает слишком большими требованиями к шагу интегрирования, что усложняет её применение в повседневных задачах. Среди оставшихся методом неявная схема лучше по масштабируемости, что на соответствующем кластере может дать преимущество.
- ▶ Исследована зависимость времени расчёта БПФ с использованием библиотеки FFTW и найдены оптимальные значения опций.
- ▶ Выбор метода решения может определяться физической постановкой задачи.

Спасибо за внимание!

Авторы:

{ Дергачёв А. А. <dergachev88@yandex.ru>
Ефимов О. В. <efimovov@yandex.ru>
Сметанина Е. О. <jannes-2002@yandex.ru>

благодарят администрацию СКИФ МГУ «Чебышёв» за терпимость к ночным загрузкам, администрацию IBM Blugene/P ВМиК МГУ за предоставленные приоритеты и участников <http://xkcd.ru> за добротный перевод комиксов.

Исходный код работы доступен по адресу

https://github.com/Sannis/papers_and_talks/

Fork us on GitHub!

Содержание

Введение

- Филаментация

Математическая модель

- Рассматриваемое уравнение и начальные условия

Численные методы решения задачи

- Общее описание

- Явная схема: метод Рунге-Кутты

- Фурье-метод

- Неявная схема: метод прогонки

Заключение

- Основные результаты

- Содержание

- Дополнительные слайды

Уравнение медленно меняющейся волны

$$2ik \frac{\partial E}{\partial z} = \left(1 - \frac{i}{\omega} \frac{\partial}{\partial t}\right)^{-1} \Delta_{\perp} E - k \frac{\partial^2 k}{\partial \omega^2} \frac{\partial E^2}{\partial t^2} + \frac{i}{3} k \frac{\partial^3 k}{\partial \omega^3} \frac{\partial^3 E}{\partial t^3} + \\ + \frac{2k^2}{n_0} \left[\left(1 - \frac{i}{\omega} \frac{\partial}{\partial t}\right) \Delta n_k + \left(1 + \frac{i}{\omega} \frac{\partial}{\partial t}\right) \Delta n_p \right] E - ik_{\alpha} E$$